

или

$$\dot{y} + \tau^{-1}y = 0, \quad (6.70)$$

где $\tau^{-1} = k_1\bar{F}_0 + k_1\bar{S} + k_1$. Решение (6.67) имеет вид

$$y = y(0)e^{-t/\tau}. \quad (6.71)$$

Значение y в момент $t = 0$ обозначено $y(0)$. Измерение τ при разных концентрациях \bar{F}_0 и \bar{S} позволяет определить k_1 и k_{-1} .

Мы воспользовались здесь обычным приемом линеаризации нелинейного уравнения (см. § 15.2).

§ 6.8. Миоглобин и гемоглобин

Гемоглобин (Hb) и миоглобин (Mb) — не ферменты. Их функция состоит в обратимом связывании молекулярного кислорода O_2 . Миоглобин служит депо кислорода, запасая его для последующего потребления. Поэтому большие количества Mb содержатся в организмах китообразных, проводящих длительное время под водой. Гемоглобин — функциональный белок эритроцитов, служащий для переноса кислорода от легких ко всем органам и тканям и участвующий в обратном транспорте углекислоты.

Исследование Mb и Hb дает, однако, информацию, весьма ценную для понимания свойств обычных и аллостерических ферментов, для понимания электронно-конформационных взаимодействий. Связывание O_2 и других лигандов этими белками вполне сходно со связыванием субстрата ферментом. Молекулярный кислород проникает в полость молекул Mb и Hb, но, в отличие от субстрата, не подвергается химическому превращению. Иногда Mb и Hb называют «почетными ферментами».

Миоглобин и гемоглобин получаются в кристаллической форме. Оба белка детально изучены методом рентгеноструктурного анализа с разрешением до 0,28 нм, как в оксигенированной (MbO_2 , HbO_2), так и в дезоксигенированной форме (Mb, Hb). Наличие в Mb и Hb простетических групп гема, обладающего специфическими электронными свойствами, позволяет эффективно пользоваться при изучении Mb и Hb методами спектроскопии, ЭПР, а также магнитной восприимчивостью, эффектом Мёссбauer'a (см. с. 139) и т. д.

Mb не имеет четвертичной структуры (с. 113), молекула Hb состоит из четырех субединиц — двух единиц α и двух β , каждая из которых подобна, но не тождественна молекуле Mb. Соответственно Hb обладает, в отличие от Mb, кооперативными свойствами — в Hb реализуется так называемое гем-гем-взаимодействие.

Кислород и другие лиганды присоединяются к группе гема, насыщая шестую координационную валентность атома железа. Образование этой связи вызывает ряд событий в молекуле белка.

Гем представляет собой ферропротопорфирин (см. рис. 2.14). Атом Fe, находящийся в двухвалентном ферросостоянии (Fe^{2+}), координационно связан с четырьмя атомами азота пиррольных

групп плоского порфиринового кольца. Пятая координационная связь, направленная перпендикулярно к плоскости кольца, соединяет атом Fe с имидазолом гистидила, шестая валентность либо свободна, либо занята лигандом.

Гемоглобин и миоглобин и их оксигенированные формы содержат феррогем. При окислении Hb и Mb образуются ферри-соединения, содержащие трехвалентный атом железа Fe^{3+} .

Таблица 6.3. Магнитные свойства гемоглобина

Соединение	Валентность	Шестой лиганд	Магнитный момент, магнетоны Бора	Спин
Гемоглобин (Hb)	2	Нет	5,2—5,5	2
Оксигемоглобин (HbO_8)	2	O_2	0	0
Карбоксигемоглобин ($\text{Hb}(\text{CO})_4$)	2	CO	0	0
Ферригемоглобин (метгемоглобин)	3	H_2O	5,6—5,8	$\frac{5}{2}$
Гидроксиметгемоглобин	3	OH^-	4,5—4,7	$\frac{1}{2}, \frac{5}{2}$
Азид ферригемоглобина	3	N_3^-	2,4—2,8	1,2
Цианид ферригемоглобина	3	CN^-	2,3—2,5	$\frac{1}{2}$

Атом Fe парамагнитен. В табл. 6.3 приведены характеристики магнитных свойств Hb и его производных в различных состояниях.

Мы видим, что феррогем может быть и высокоспиновым (Hb) и низкоспиновым (HbO_8 , $\text{Hb}(\text{CO})_4$) состояниях. Связывание ли-

Таблица 6.4. Спектры поглощения некоторых гем-соединений

Соединение	α -полоса		β -полоса		Полоса Соре	
	$\lambda, \text{ нм}$	$\epsilon \cdot 10^{-3}$	$\lambda, \text{ нм}$	$\epsilon \cdot 10^{-3}$	$\lambda, \text{ нм}$	$\epsilon \cdot 10^{-3}$
Гем	565	6,1			390	39,6
CO-гем	562	14,6	530	11,9	406,5	147
Hb	555	13,5			430	119
HbO_8	577	14,6	542	13,8	412	135
$\text{Hb}(\text{CO})_4$	569	13,4	539	13,4	419	191
Mb	555	12,0			435	114
MbO_2	582	13,1	544	12,7	417	119
MbCO	578	12,3	541	14,1	423	185

Длинноволновые полосы гема, Hb и Mb, обычно не называются α -полосами.

танды проявляются в спектре поглощения в видимой области (рис. 6.18). В табл. 6.4 приведены соответствующие данные.

Интерпретация магнитных и спектральных свойств гема основывается на квантовомеханическом анализе. Внешние электроны атома железа имеют конфигурацию $3d^6$ для Fe^{2+} и $3d^5$ для Fe^{3+} . Теоретические расчеты основаны на теории поля лигандов. Молекулярные орбитали системы представляются линейными комбинациями орбиталей Fe, порфиринового цикла и лигандов.

Расчеты дают распределение электронной плотности и уровни электронной энергии. Ряд вопросов остается, однако, не исследованным, в частности, необходимо рассмотрение напряженного гема с пятью координационными связями в Hb и Mb .

Гемоглобин и миоглобин парамагнитны, в отличие от подавляющего большинства других биологических молекул. В связи с этим следует упомянуть о так называемой *магнитобиологии*,

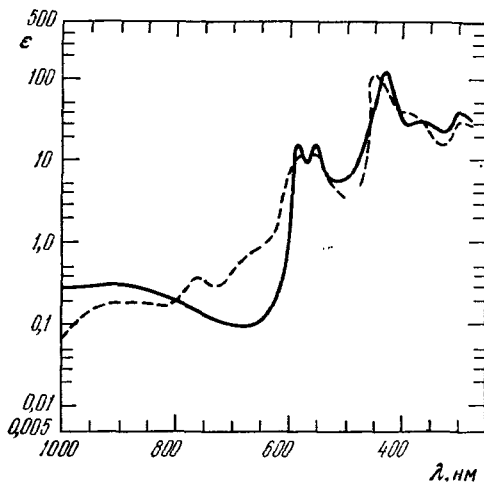


Рис. 6.18. Спектры поглощения Hb (штриховая кривая) и HbO_2 (сплошная кривая)

изучающей влияние магнитных полей на биологические явления. В принципе магнитные поля могли бы влиять на поведение Hb и Mb и соответствующих клеток, а также на кинетику биохимических реакций, идущих с участием свободных радикалов. Однако достоверных данных о воздействии постоянного магнитного поля на биологические явления пока почти нет.

Особое место занимают открытые в торфяных болотах США бактерии, содержащие ферромагнитный магнетит $\text{FeO} \cdot \text{Fe}_2\text{O}_3$. Эти бактерии способны ориентироваться в магнитном поле, их можно намагнитить. В то же время нет никаких научных оснований для утверждений о биологической роли «омагниченной воды» — о том, что вода, прошедшая через магнитное поле, якобы ускоряет рост растений, имеет бактерицидные свойства и т. д.

Известны первичные структуры Hb и Mb многих видов животных, а также большого числа мутантных гемоглобинов человека (см. с. 36). Расшифровка пространственного строения Hb и Mb , выявление конформационных изменений, возникающих при связывании лигандов, имеют принципиальное значение. Именно для Mb и Hb проблема связи строения со свойствами изучена особенно подробно.

Кривая насыщения Mb молекулярным кислородом $\bar{Y}(p)$, где p — парциальное давление O_2 , подобна изотерме Ленгмюра

$$\bar{Y} = \frac{p}{K + p}. \quad (6.72)$$

Напротив, кривая $\bar{Y}(p)$ для Hb имеет перегиб — S-образную форму. Ее можно описать уравнением Хилла

$$\bar{Y} = \frac{p^n}{K' + p^n}, \quad (6.73)$$

где K' — константа, а параметр $n = 2,8$. Обе кривые показаны на рис. 6.19 ($1 - \bar{Y} = \frac{K_p}{1 + K_p}$; $2 - \bar{Y} = \frac{K_p^n}{1 + K_p^n}$, $n = 2,8$).

Физиологический смысл S-образной кривой $Y(p)$ для Hb состоит в уменьшении сродства Hb к O_2 по мере отщепления O_2 . Изменения парциального давления O_2 в тканях невелики. Если бы для Hb была характерна гиперболическая кривая $Y(p)$ (6.72), то лишь малая доля переносимого O_2 отщеплялась бы в тканях. В результате организм задыхался бы даже в атмосфере чистого кислорода. Эффективность дыхательного транспорта регулируется кроме того присутствием кофактора — 2,3-дифосфоглицерата (ДФГ), понижающего сродство Hb к O_2 , и эффектом Бора.

Эффект Бора, свойственный Hb, но не Mb, состоит в зависимости сродства Hb к O_2 от pH среды. Сродство минимально вблизи pH 6 и максимально вблизи pH 9. Иными словами, малые концентрации протонов облегчают присоединение O_2 и, наоборот, малые концентрации O_2 облегчают присоединение протонов к Hb. Повышенная pH венозной крови и тем самым увеличивая ее способность поглощать бикарбонат, эффект Бора обеспечивает главный механизм обратного транспорта CO_2 от тканей к легким.

Отличие коэффициента n от 1 в уравнении Хилла (6.70) и соответствующая S-образность кривой $Y(p)$ отражают гем-гем взаимодействие, т. е. взаимосвязь четырех субъединиц и, следовательно, кооперативность присоединения O_2 . Изменения энталпии при связывании первой, второй, третьей и четвертой молекул O_2 гемоглобином овцы равны соответственно $\Delta H_1 = -65,9 \pm 3,3$, $\Delta H_2 = -47,8 \pm 10,5$, $\Delta H_3 = -32,7 \pm 13,8$ и $\Delta H_4 =$

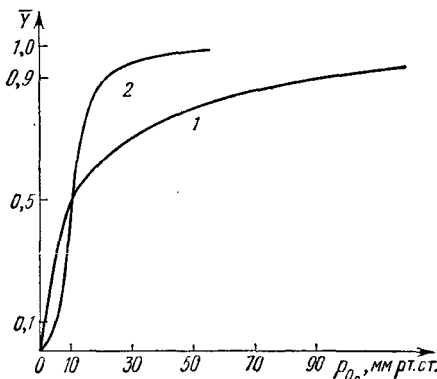


Рис. 6.19. Кривые насыщения молекулярным кислородом миоглобина (1) и гемоглобина (2)

$-36,5 \pm 13,8$ кДж/моль. Связывание кислорода заметно усиливается по мере присоединения.

События, происходящие в молекуле Hb при оксигенации, были раскрыты Перутцем в результате рентгенографического исследования. Молекула O_2 присоединяется к атому Fe гема. В HbO_8 атом Fe расположен в плоскости гема, в его центре. В высокоспиновом Hb атом Fe отстоит от этой плоскости примерно на 0,05 нм в направлении имидазольного кольца Гис F8. В таком состоянии координационное число Fe равно 5. Оксигенация переводит Fe в низкоспиновое состояние и увеличивает число лигандов Fe на единицу. Эти изменения вызывают изменение контактов между гемом и плотно упакованными аминокислотными остатками белка. Иными словами, в результате ЭКВ происходит перестройка белковых глобул.

С гемом непосредственно контактируют 60 атомов белка. При введении даже наименьшего лиганда OH^- , имеющего радиус 0,15 нм, происходит конформационная перестройка в β -субъединицах Hb. В этих субъединицах группа γ -CH₃, остатка Вал E11 оказывается на расстоянии 0,25 нм от OH^- , что меньше суммы ван-дер-ваальсовых радиусов. Следовательно, в β -глобулах Hb нет места даже для наименьшего лиганда и при оксигенации расстояние между гемом и Вал E11 должно увеличиваться примерно на 0,1 нм. Напротив, в α -субъединицах такого перемещения нет, так как ширина «кармана» достаточна для внедрения лиганда.

В HbO_8 C-концы всех четырех цепей имеют полную свободу поворотов, а предпоследние остатки Тир (140) — частичную. Напротив, в Hb каждый из C-концов дважды закреплен солевыми

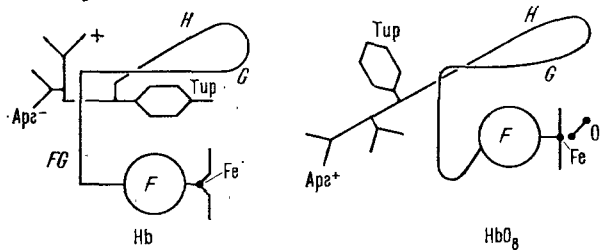


Рис. 6.20. Схема перемещения Тир HG2 (140) при оксигенации (Перутц)

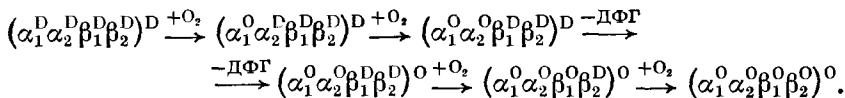
мостиками Арг (141) α_1 с Асп (126) α_2 , Гис (146) β_1 с Лиз (40) α_2 и Асп (84) β_1 . Все четыре предпоследних Тир жестко закреплены в полостях между спиралами F и H ван-дер-ваальсовыми и водородными связями. Оксигенация Hb вызывает перемещение спирали F и разрыв солевых мостиков, вследствие чего Тир (140) выводится из «кармана» между спиралами F и H; одновременно ширина «кармана» уменьшается на 0,13 нм в α - и на 0,2 нм в β -цепях. Эта перестройка схематически показана на рис. 6.20. Перестройка в субглобулах и разрывы со-

левых мостиков изменяют четвертичную структуру. В контактах $\alpha_1\beta_1$ и $\alpha_2\beta_2$ происходят сдвиги на 0,1 нм, в $\alpha_1\beta_2$ и $\alpha_2\beta_1$ на 0,7 нм — очень большую величину. Эти последние контакты имеют наибольшее значение. Мутантные замещения в соответствующих областях заметно уменьшают гем-гем-взаимодействие.

Конечно, сам термин «гем-гем-взаимодействие» условен. Речь идет не о взаимодействии групп гема друг с другом — расстояние между ними слишком велико для этого. Взаимодействие субъединиц определяется конформационными событиями, тригером которых служит перемещение атома Fe в плоскость порфиринового кольца и соответствующая передвижка проксимального Гис на 0,075—0,095 нм. Спираль F перемещается к центру молекулы и выталкивает Тир (140) из полости между спиралью F и H. Вытолкнутый Тир тянет за собой Арг (141) и разрывает поэтому солевые мостики с противолежащей α -цепью. Ситуация в β -цепях иная. Прежде чем лиганда доберется до атома Fe, он должен «открыть» полость вблизи гема. Образуется связь Fe — лиганда, атом Fe перемещается в плоскость гема, спираль F сдвигается к центру молекулы и выталкивает Тир (145) из его «кармана». Этот остаток тянет Гис (146) и разрывает его солевой мостик с Асп (94).

Структура Нb стабилизирована ДФГ, образующим дополнительные солевые мостики между β -субглобулами. При оксигенации ДФГ удаляется из молекулы.

По мысли Перутца каждая из субъединиц может быть в состоянии *дезокси-* и *окси-*конформации. Присоединение O₂ переводит субъединицу в *окси-*конформацию, но четвертичная структура остается как целое *дезокси*, пока не присоединены две молекулы O₂. Оксигенация предположительно начинается с α -субглобул, так как в них имеется достаточно места для внедрения лигандов. Схема процесса, изображенная на рис. 6.21, такова:



Сущность процесса сводится к тому, что вследствие специфической конструкции группа гема усиливает малое изменение атомного радиуса, испытываемое Fe при переходе от высокоспинового состояния к низкоспиновому, и трансформирует это изменение в большее смещение Гис, связанного с гемом. Электронные события трансформируются в конформационные, с вытекающими из них последствиями.

Энергия взаимодействия субъединиц составляет около 50 кДж/моль, что соответствует энергии шести солевых мостиков, образующих контакты.

Нb тетрамерен, его расщепление на димеры происходит при малых концентрациях. При этом должны разорваться солевые мостики и четвертичная структура примет *окси-*конформацию. Кооперативные эффекты определяются тетрамерной структурой.

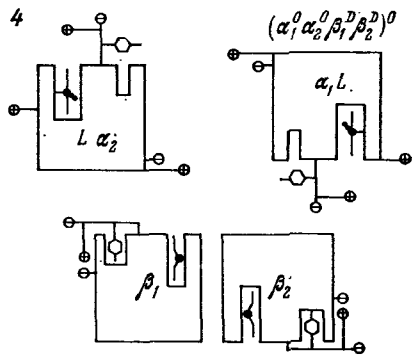
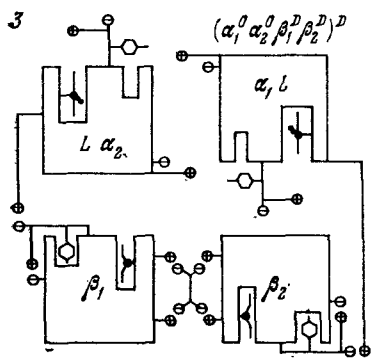
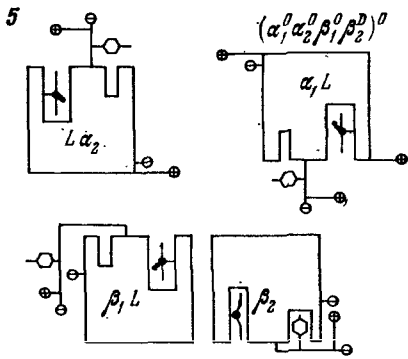
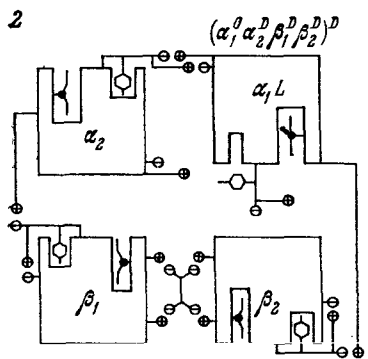
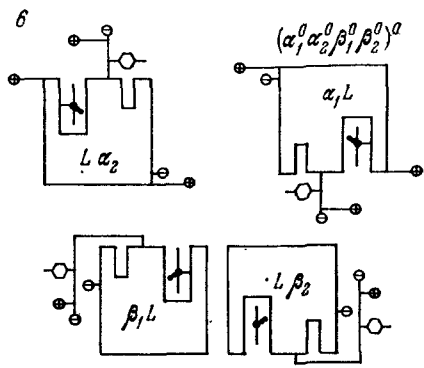
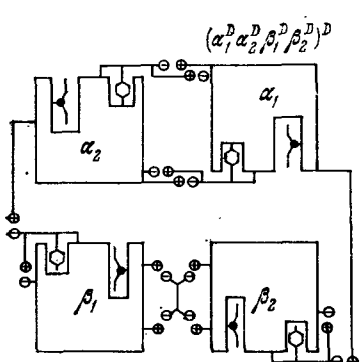


Рис. 6.24. Схема оксигенации гемоглобина по Перутцу: 1 — Hb с интактными солевыми мостиками и с молекулой ДФГ, «зажатой» между двумя β -цепями; 2 — HbO₂; 3 — HbO₄. На стадиях 1—2 и 2—3 оксигенируются α -цепи; 4 — HbO₄ с измененной конформацией; на стадиях 3—4 происходит конформационное превращение; 5 — HbO₆; 6 — HbO₈.

Ценная информация об ЭКВ в Нв получена с помощью магнитной поляриметрии (§ 5.8) и эффекта Мёссбауэра (§ 5.3). Дисперсия магнитного вращения (ДМВ) и магнитный круговой дихроизм (МКД) чрезвычайно чувствительны к особенностям строения Нв и Mb, которые практически неразличимы по спектрам поглощения. На рис. 6.22 показаны кривые ДМВ для Mb и его комплексов с лигандами. Это — электронные эффекты. Их

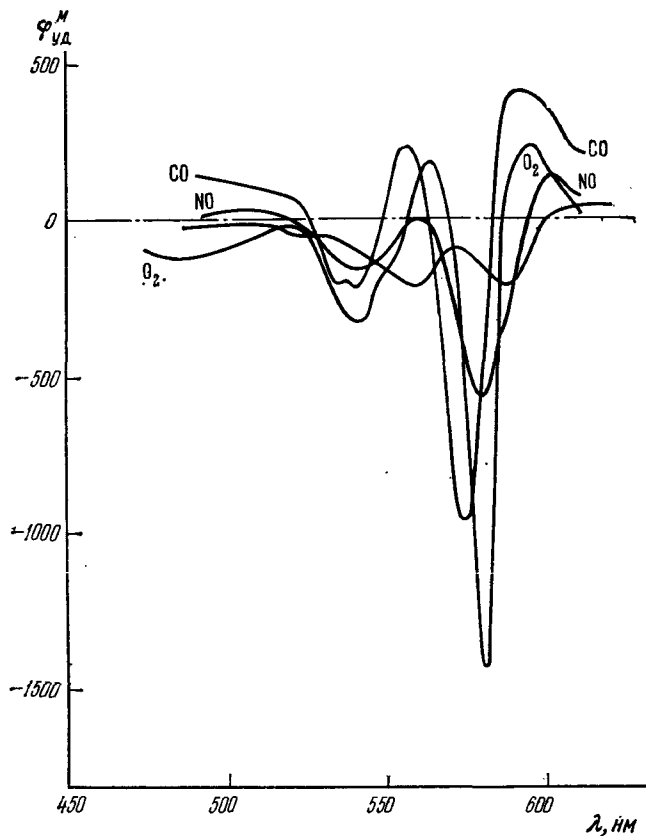


Рис. 6.22. Кривые дисперсии магнитного вращения Mb и его комплексов

хорошая корреляция с конформационной стабильностью комплексов при депатурации мочевиной непосредственно демонстрирует ЭКВ.

Почти не обнаруживаемая в поглощении, но наблюдаемая в ДМВ и МКД α -полоса Mb весьма чувствительна к гем-гем-взаимодействию. У Mb, а также α - и β -субъединиц Нв в α - и β -полосах ДМВ примерно одинакова. Напротив, в тетramerном Нв эффект в α -полосе вдвое больше, чем в β -полосе (рис. 6.23). Метод ДМВ позволил исследовать диссоциацию Нв на субъедини-

ницы. Установлено, что при рН 10—11 тетрамеры диссоциируют на некооперативные димеры $\alpha\beta$.

Эффект Бора (с. 209) получил молекулярное истолкование. При конформационных переходах $\text{окси-Hb} \rightleftharpoons \text{дезокси-Hb}$ изменяется окружение трех пар слабых оснований таким образом, что они стремятся присоединить протоны при отщеплении O_2 .

Это объясняется конкретными передвижками ионогеных аминокислотных остатков. Соотноше-

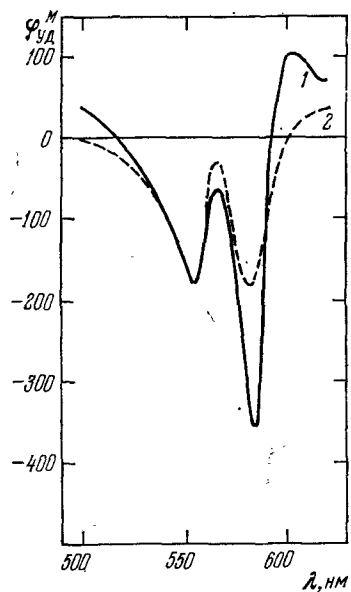


Рис. 6.23. Кривые ДМВ Hb (1) и изолированных α - и β -цепей (2)

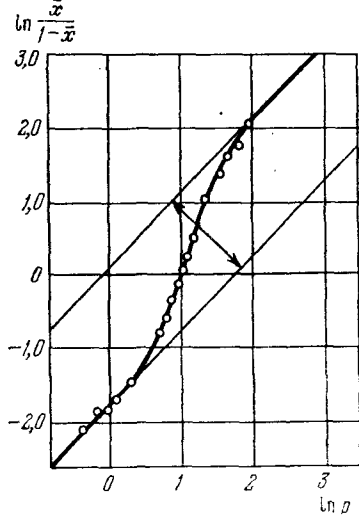


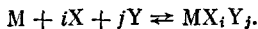
Рис. 6.24. График Хилла для насыщения гемоглобина лошади кислородом

ние между O_2 и протонами в Hb такое же, как субстрата и аллостерического эффектора в АСФ.

Уаймен построил феноменологическую теорию связанных функций для Hb и АСФ. Допустим, что молекула АСФ связывает два лиганда X и Y, имея q активных центров для X и r — для Y. Полная концентрация молекул АСФ равна

$$c = c_0 \sum_{i=0}^q \sum_{j=0}^r K_{ij} x^i y^j, \quad (6.74)$$

где c_0 — концентрация свободных молекул, x и y — концентрации X и Y, K_{ij} — константа равновесия для реакции



Функции насыщения равны

$$Y_X = \frac{\partial \ln \sum \sum K_{ij} x^i y^j}{\partial \ln x}, \quad Y_Y = \frac{\partial \ln \sum \sum K_{ij} x^i y^j}{\partial \ln y}. \quad (6.75)$$

Отсюда следует

$$\left(\frac{\partial \ln Y_X}{\partial \ln y} \right)_x = \left(\frac{\partial \ln Y_Y}{\partial \ln x} \right)_y. \quad (6.76)$$

Удобно представить кривую равновесия лиганда не величиной Y_X , но в виде зависимости $\ln [\bar{x}/(1-\bar{x})]$, где $\bar{x} = Y_X/q$, от $\ln x$ и ввести параметр n , определяемый так:

$$n = \frac{d \ln [\bar{x}/(1-\bar{x})]}{d \ln x} = \frac{1}{\bar{x}(1-\bar{x})} \frac{dx}{d \ln x}. \quad (6.77)$$

Если все центры идентичны и независимы друг от друга, то график имеет вид прямой с $n=1$. При стабилизирующих взаимодействиях, т. е. при $(\partial Y_X / \partial \ln x) > q$, значение $n > 1$. Это соответствует уравнению Хилла (6.73), которое можно переписать в виде

$$\ln \frac{\bar{x}}{1-\bar{x}} = \ln K + n \ln x. \quad (6.78)$$

На рис. 6.24 приведен график (6.78), где $x = p$, для Hb лошади. Здесь $n = 2,95 \pm 0,05$, свободная энергия взаимодействия Hb с O_2 равна 10,9 кДж/моль. С помощью теории Уаймена легко описать эффект Бора ($X = \text{O}_2$, $Y = \text{H}^+$).

Гемоглобин может связывать O_2 и CO . При насыщении коэффициент распределения A не зависит от парциального давления обоих газов (*первый закон Холдейна*):

$$\frac{[\text{Hb}(\text{CO})_4]}{[\text{HbO}_8]} = A \frac{p_{\text{CO}}}{p_{\text{O}_2}}. \quad (6.79)$$

Второй закон гласит, что насыщение при взаимодействии со смесью O_2 и CO есть функция $p_{\text{O}_2} + Ap_{\text{CO}}$. Этот закон следует из (6.79).

Свойства гемоглобина демонстрируют динамическое поведение белка. И третичная, и четвертичная структуры Hb быстро и непрерывно осциллируют между *окси-* и *дезокси*-конформациями. Присоединение лиганда вызывает сдвиг конформационного равновесия. Это и есть ЭКВ.

§ 6.9. Бионеорганическая химия и биофизика

Гемоглобин и миоглобин — белки, содержащие соединение переходного металла, гем, в качестве простетической группы. Изучение такого рода веществ относится к области бионеорганической химии, о которой уже упоминалось выше (с. 50). Здесь уместно рассказать о проблемах бионеорганической химии в связи с биофизикой.

Бионеорганическая химия изучает биологически функциональные соединения металлов (а также некоторых неметаллов, например селена). Металлы необходимы для нормальной жизнедеятельности организмов. В табл. 6.5 приведены показательные цифры. В организме содержатся и другие металлы, но в гораздо меньших количествах.

Скелеты позвоночных, раковины моллюсков и т. д. построены в основном из солей кальция. Ионы Ca^{2+} играют важнейшую роль в механохимических процессах (мышечное сокращение,